

砂粒運動の性質に着目した移動床砂面の不安定性

京都大学工学部 正員 中川博次
 京都大学工学部 正員 ○辻本哲郎
 京都大学大学院 学生員 自閑茂治

1. まえがき 河床波の発生の説明として Kennedy¹⁾以来安定理論を用いた解析が注目され、おかげ上から巧みに河床波の形成が説明された論文も少なくない。しかしこれらは流れ距離を役立てる等の何らかの工夫を必要とするので、その構造が必ずしも明確にされたとは言い難い。そこで本報ではこの構造を明確にし、とくに著者從来の掃流過程における個々の粒子の運動特性に関する研究成果に基づいて流れ砂量の底面せん断応力に対する流れ距離を明らかにし、流れの非平衡性の移動床の不安定性に果たす役割を調べる。すでに著者は砂れきの step length がこの流れ距離に強く関係していることを示唆し²⁾、林³⁾も最近これに着目して不安定性解析を示しているが、決走論的理論ではこれを正確に扱えず、そのため誤った結果を産む可能性のあることが本報で明らかにされる。また step length も定義により許容が異なるが、著者らの用いるものが流れの非平衡性を反映しているものであることが別途の実験により示される。なお線型安定解析には、初期擾乱の発生⁴⁾、時間経過後の成長過程^{5),6)}を説明し得ない欠点があるが、本報ではこれらについては述べない。文献 4), 5) を参照されたい。

2. 移動床砂面の不安定性解析と流れ距離 または 位相差 移動床に発生した擾乱 $y(x)$ を式(1)で表す,
 $\partial y / \partial t$ が式(2)で表されるものとする。
 $y(x) = a \sin k(x - Ut) \quad \dots \dots (1)$
 $\partial y / \partial t = y_{xy} a \sin [k(x - Ut) - \varphi] \quad \dots \dots (2)$

$y_{xy} > 0$ になると、位相差 φ によって擾乱の成長、進行(伝播)方向が論じられる。すなはち式(1)の時間微分と式(2)を等置し、 $a(t)/a(t)$ が常に独立であることから φ が得られる。上記の φ は次のような構成となつていて。

砂面擾乱	河床波の水理量	掃流現象	砂面高変化
$y(x)$	$u(x)$	$\tau(x)$	$\rho_s(x)$ $\rho_f(x)$ $\partial y / \partial t$

$\begin{array}{c} y_{xy} \\ \hline g_{xy} \end{array}$ $\begin{array}{c} u \\ \hline g_{tu} \end{array}$ $\begin{array}{c} \tau \\ \hline g_{t\tau} \end{array}$ $\begin{array}{c} \rho_s \\ \hline g_{sp} \end{array}$ $\begin{array}{c} \rho_f \\ \hline g_{fp} \end{array}$ $\begin{array}{c} \partial y / \partial t \\ \hline g_{y\partial t} \end{array}$
 流れの位相差 g_{xy} 流砂の流れ距離 SBC

$$\varphi = g_{xy} + K \delta_B z + g_{y\partial t} \quad \dots \dots (3)$$

上式の右辺の各項はそれそれぞれ波状路床上の流れの運動方程式(及び連続式)、流砂の運動方程式(あるいは流砂の連続式)によって求められる。すなはち各々の位相差 または 流れ距離が求められたとき、その和を求めるのに各擾乱の振幅比(砂面擾乱のそれに対する比⁷⁾に添字を付けて書く)が必要である。まず式(3)の第3項については次のような情報が流砂の連続式より確定的に得られる。 $g_{y\partial t} = \pi/2$, $y_{yB} = g_{B0} \pi / (1 - \rho_f)$ (4)
 式(3)の第2項については次章に示すようにこうした軽微な非平衡状況は流砂の stochastic model の Euler 的解釈によつて掃流砂粒子の運動が適切に表現されるので、これによる検討である。オイラーについては波状路床上の流れについて下テンシャル流理論^{8), 9)}、一次元不等流といひ¹⁰⁾など様々な方法があり、ここでは詳細な検討は省略する。

3. 掫流砂の stochastic model の Euler 的解釈とその非平衡状況への適用 掫流砂の stochastic model⁹⁾は従来 sediment dispersion を対象とした^{10), 11)}ためその適用範囲が限られているが、著者らはこれを Euler 的に解釈し直し、平衡状態の流砂量式¹²⁾の他、初期擾乱の発生過程⁴⁾、armor coat の形成・伝播過程¹³⁾を用いている。すなはちこれは軽微な非平衡状態に適用が可能であり¹⁴⁾、非平衡流砂量式¹⁵⁾が次のように表示される(図-1 参照)。

$$g_B(x) = K d \int_{x_0}^x \rho_s(x') \int_{x-x'}^{\infty} f_x(\xi) d\xi dx' \quad \dots \dots (5)$$

ここで K : 砂れきの形状係数 ($= A_3/A_2$), x_0 : 流砂の

y と g_{xy} の 位相差 φ	$U = y_{xy} \sin \varphi$	$\frac{d}{dt} = y_{xy} \cos \varphi$	砂面状態
$0 \sim \frac{\pi}{2}$	+	+	下流へ伝播する擾乱波
$\frac{\pi}{2} \sim \pi$	+	-	安定
$\pi \sim \frac{3\pi}{2}$	-	-	不安定
$\frac{3\pi}{2} \sim 2\pi$	-	+	上流へ伝播する擾乱波

解説、 $f_x(\xi)$: step length の確率密度関数である。いま同一粗度と見なせる固定床と移動床を接続し、移動床ごとx方向に p_s が一定と考えると、上式は、

$$g_B(x) = p_s K d \int_0^x \{1 - F_x(x-x')\} dx' \quad \dots \dots \dots (6)$$

である。 $x \rightarrow \infty$ では平衡流砂量 q_B が得られる。16mm フィルム解析¹³⁾によると各断面流砂量を求めた結果が図-2(a)に示され、これより step length がほぼ指數分布に従い、その平均値は粒径の 50~250 倍程度と従来のトレーサー実験の結果¹⁴⁾で得られているものと同程度となる。

なお 16mm フィルム解析から p_s と同様に定義された deposit rate p_d について調べ、 $g_B(x)$ と $p_d(x)$ が比例していることを確かめ(図-3 参照)、これからも step length の分布がこの程度の非平衡状況でも指數分布に従うことを確認した。すなはち、 $p_d(x) = p_s F_x(x) \dots \dots (7)$ であり、step length が指數分布に従うおれば、式(6)と式(7)から比例関係が得られる。

4. 流砂量の河床面せん断応力に対する遙れ距離 pick-up rate p_s は底面せん断応力の強さによって決まり、 p_s との遙れ距離はほぼ零と考えられる。この点から、pick-up rate と step length は分けた流砂機構を探るべきである。このとき、流砂量と p_s の遙れは、 p_s との遙れと見なして良い。前章の結果より、流砂量式(6)と式(6)を用いて($x \rightarrow \infty$)、step length の確率密度関数を次式と看なし(Δ: 平均 step length)。

$$f_x(\xi) = \frac{1}{\Delta} \exp(-\xi/\Delta) \quad \dots \dots \dots (8)$$

また、 p_s には ξ と遙れの間に遙れがないとして次式のように書かれてゐるものとする。 $p_s(x) = p_{s0} [1 + \gamma p_y \alpha \sin[\kappa(x-L_b t) - \varphi_{cy}]] \dots \dots (9)$

式(8)、(9)を式(6)に代入して積分を実行し、整理すると、 δ_{BC} を $g_B(x)$ の $\xi(x)$ に対する遙れ距離として次式が得られる。

$$\begin{aligned} g_B(x) &= K p_{s0} \Delta d \left[1 + \frac{\gamma p_y \alpha}{\Delta} \frac{1}{(1/\Delta)^2 + \kappa^2} \left(\frac{1}{\Delta} \sin[\kappa(x-L_b t) - \varphi_{cy}] - \kappa \cos[\kappa(x-L_b t) - \varphi_{cy}] \right) \right] \\ &\equiv g_{B0} \left[1 + \frac{\gamma p_y \alpha}{\sqrt{1 + (\kappa \Delta)^2}} \sin[\kappa(x-L_b t - \delta_{BC}) - \varphi_{cy}] \right] \end{aligned} \quad \dots \dots \dots (10)$$

よって、 $\sin \kappa \delta_{BC} = \kappa / \sqrt{(1/\Delta)^2 + \kappa^2} > 0$ 、 $\cos \kappa \delta_{BC} = 1/\Delta \sqrt{(1/\Delta)^2 + \kappa^2} > 0$ 、

$$Y_{BC} = 1 / \sqrt{1 + (\kappa \Delta)^2} \quad \dots \dots \dots (11) \quad \text{が得られ}, \quad 0 < \kappa \delta_{BC} < \frac{\pi}{2} \quad \dots \dots \dots (12) \quad \text{となる}.$$

step length を確定量と扱い、これが遙れ距離であることをすると位相差に変換するときの象限が不定であるのにに対し、step length の確率密度であるからこのように位相差が確定するには意味ある結果である。

5. 移動床砂面に生じる不安定性 前章までの結果から式(3)の遙れ距離を δ_{BC} 位相差の第2項及び第3項が明らかになった。すなはち $\varphi = \varphi_{cy} + (0 \sim \frac{\pi}{2}) + \frac{\pi}{2} = \varphi_{cy} + (\frac{\pi}{2} \sim \pi)$

である。下流域または上流域へ伝播する飛躍する砂面形状の唯一の条件を表す式(10)が得られる。これはそれを lower, upper regime と出現得るのを上述の講説は妥当であると言える。ここで φ_{cy} を決定するためのモデルにボテンシャル流理論¹⁵⁾を用い、水頭差による附加的せん断応力を長波に対する Yalin & Russell¹⁶⁾の方法で考慮し pick-up rate は前者の推定式¹⁷⁾を用いる。下に平均 step length と平均水深(h_0)との比を Y_1 、附加せん断応力を Y_2 とし、これらをパラメータとして図-4 に示した。

参考文献: 1) Kennedy, J.F.M., 1963, 2) 中川: 工学会年報, 1976, 3) 林大西: 第2回水理講習会論文集, 1977, 4) 中川・林大西: 流れ構造論, 1977, 5) 中川: 土木研究年報, 1976, 6) Hayashi: Proc. ASCE, HY, 1970, 7) Reynolds: J.F.M., 1965, 8) Raudkivi: J.F.M., 1966, 9) Einstein: Verlag Ruscher, 1977, 10) Huppell & Sykes: Proc. ASCE, 1964, 11) 天野・土屋: 道工: 大阪大学研究年報, 1968, 12) 中川: 本原: 関西大学研究年報, 1977, 13) 中川: 土木学会論文報告集, 1975, 14) Yalin & Russell: J.Hyd. Res., 1957, 15) 中川: 流れ構造論, 1977.

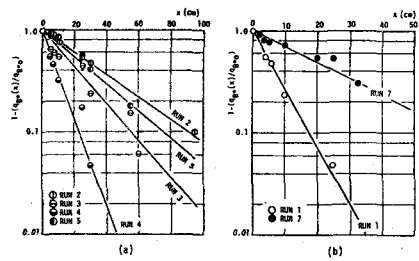
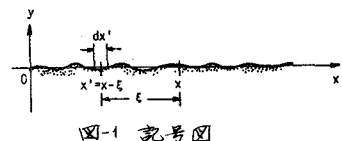


図-2 非平衡流砂量

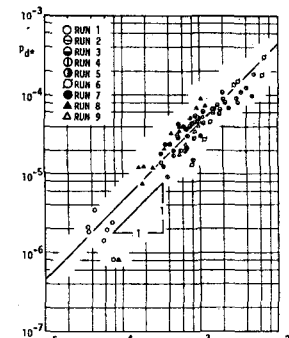


図-3 各断面での deposit rate と流砂量との関係

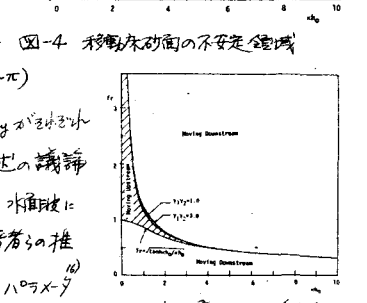
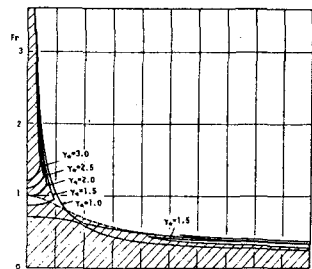


図-5 砂面擾乱の伝播方向